

Особенности энергетического спектра и квантового магнетотранспорта в гетеропереходах II типа

© Н.С. Аверкиев*, В.А. Березовец*,**, М.П. Михайлова*, К.Д. Моисеев*,
В.И. Нижанковский**, Р.В. Парфеньев*, К.С. Романов*

* Физико-технический институт им. А.Ф. Иоффе Российской академии наук,
194021 Санкт-Петербург, Россия

** Международная лаборатория высоких магнитных полей и низких температур,
Вроцлав, Польша

E-mail: const@stella.ioffe.rssi.ru

(Поступила в Редакцию 19 марта 2004 г.)

Теоретически и экспериментально исследованы особенности энергетического спектра разьединенного гетероперехода II типа во внешнем магнитном поле. Показано, что из-за гибридизации состояний валентной зоны одного полупроводника и зоны проводимости другого на гетерогранице происходят антипересечения уровней, которые приводят в ненулевом магнитном поле к возникновению квазищелей в плотности состояний. Продемонстрировано хорошее согласие экспериментальных результатов магнетотранспортных исследований для образцов GaInAsSb/*p*-InAs с различным уровнем легирования четверного твердого раствора с результатами модельных расчетов и установлены особенности энергетического спектра разьединенных гетеропереходов II типа.

Работа выполнена при финансовой поддержке программ президиума РАН „Низкоразмерные квантовые структуры“ и Министерства промышленности, науки и технологии, программ ОФН, INTAS, ведущей научной школы НШ-2200.2003.2, а также Российского фонда фундаментальных исследований.

1. Введение

В последнее время интенсивно исследуются гетероструктуры с разьединенными переходами II типа, отличительной особенностью которых является наличие энергетического перекрытия между валентной зоной одного и контактирующих полупроводников и зоной проводимости другого. Типичной парой материалов, образующих переход такого типа, являются InAs и GaSb [1].

Наличие энергетического перекрытия приводит к появлению ряда особенностей. Например, подвижными носителями с одной стороны от интерфейса являются электроны, а с другой — дырки, что должно приводить к сильной гибридизации состояний зоны проводимости одного полупроводника и валентной зоны другого. Деформация и изгиб зон в гетеропереходе ведут к формированию двух двумерных потенциальных ям по разные стороны интерфейса — одна для дырок, другая для электронов. Так, для гетероперехода между GaSb и InAs со стороны GaSb формируется квантовая яма для дырок, а со стороны InAs — для электронов [2,3]. Кроме одиночных гетеропереходов широко исследуются структуры, состоящие из двух гетеропереходов и квантовой ямы между ними [3]. Одиночный гетеропереход II типа с самосогласованными квантовыми ямами обладает похожими свойствами, но конкретная форма изгиба энергетических зон вблизи гетерограницы зависит от концентраций носителей и может изменяться посредством легирования контактирующих объемных материалов.

Для точного количественного описания электронной структуры разьединенного гетероперехода II типа необ-

ходим самосогласованный расчет. Однако качественное представление о характере гибридизации и энергетическом положении уровней размерного квантования дают и более простые аналитические модели. В настоящей работе рассмотрена одиночная квантовая яма с бесконечными стенками, разделенная на две части, в каждой из которых зонные параметры постоянны (рис. 1). При этом запрещенные зоны расположены так, что имеется перекрытие между валентной зоной одного материала (в данном случае GaSb) и зоной проводимости другого (InAs). Для полупроводников A^{III}B^V и их твердых растворов, образующих рассматриваемый тип гетеропереходов, наиболее подходящей зонной схемой представляется модель Кейна. Эта модель позволяет относительно просто (интегрированием исходного гамилтониана) учесть граничные условия и принять во внимание реальные значения эффективных масс. Магнитное поле в рамках этой модели учитывается стандартным способом: переходом к обобщенным импульсам и добавлением слагаемого, описывающего *g*-фактор. В данном расчете будет учитываться только *g*-фактор электронов ($|g| = 10$) как наиболее существенный.

Цель настоящей работы — расчет энергетического спектра разьединенного гетероперехода II типа как в нулевом магнитном поле, так и в случае однородного магнитного поля, перпендикулярного плоскости гетероперехода, и сравнение этих результатов с экспериментальными данными магнетотранспортных исследований, выполненных на системе GaInAsSb/InAs, с более согласованными постоянными решеток, чем в GaSb/InAs.

2. Модель

Энергетическая структура предлагаемой модели гетероперехода приведена на рис. 1. Согласно обозначениям энергия отсчитывается от середины запрещенной зоны одного из полупроводников, составляющих гетеропару. Ширина запрещенной зоны этого полупроводника равна 2Δ , ширина запрещенной зоны другого — $V_1 - V_2$, где V_1 — верхняя, а V_2 — нижняя граница запрещенной зоны второго полупроводника. Толщины слоев равны a и b соответственно. Величина перекрытия равна $V_2 - \Delta$. Зонную структуру каждого из полупроводниковых материалов будем описывать в рамках модели Кейна. Для объемного случая в рамках шестизонной модели Кейна с учетом лишь линейных по импульсу слагаемых гамильтониан \hat{H} , описывающий поведение свободной частицы, представляет собой матрицу 6×6

$$\tilde{H} = \begin{pmatrix} \frac{E_g}{2} & 0 & \frac{\hat{R}_-}{\sqrt{2}} & \frac{2i\hat{R}_z}{\sqrt{6}} & \frac{\hat{R}_+}{\sqrt{6}} & 0 \\ 0 & \frac{E_g}{2} & 0 & \frac{\hat{R}_-}{\sqrt{6}} & \frac{2i\hat{R}_z}{\sqrt{6}} & \frac{\hat{R}_+}{\sqrt{2}} \\ \frac{\hat{R}_+}{\sqrt{2}} & 0 & -\frac{E_g}{2} & 0 & 0 & 0 \\ -\frac{2i\hat{R}_z}{\sqrt{6}} & \frac{\hat{R}_+}{\sqrt{2}} & 0 & -\frac{E_g}{2} & 0 & 0 \\ \frac{\hat{R}_-}{\sqrt{6}} & -\frac{2i\hat{R}_z}{\sqrt{6}} & 0 & 0 & -\frac{E_g}{2} & 0 \\ 0 & \frac{\hat{R}_-}{\sqrt{2}} & 0 & 0 & 0 & -\frac{E_g}{2} \end{pmatrix}, \quad (1)$$

где $\hat{R}_+ = \alpha(\hat{p}_y + i\hat{p}_x)$, $\hat{R}_- = \alpha(\hat{p}_y - i\hat{p}_x)$, $\hat{R}_z = \alpha\hat{p}_z$ (\hat{p}_i — проекции оператора импульса на соответствующие оси координат), α — кейновский коэффициент, определяющий величины эффективных масс электронов и легких дырок, E_g — ширина запрещенной зоны полупроводника (для вычислений выбрана система единиц, в которой $\hbar = c = 1$). При этом волновая функция является шестикомпонентным столбцом. Собственными функциями гамильтониана (1) являются функции

$$\psi_1 = \begin{pmatrix} a \\ 0 \\ \frac{\hat{R}_+}{\sqrt{2}(E + \frac{E_g}{2})} a \\ -\frac{2i\hat{R}_z}{\sqrt{6}(E + \frac{E_g}{2})} a \\ \frac{\hat{R}_-}{\sqrt{6}(E + \frac{E_g}{2})} a \\ 0 \end{pmatrix}, \quad \psi_2 = \begin{pmatrix} 0 \\ b \\ 0 \\ \frac{\hat{R}_+}{\sqrt{6}(E + \frac{E_g}{2})} b \\ -\frac{2i\hat{R}_z}{\sqrt{6}(E + \frac{E_g}{2})} b \\ \frac{\hat{R}_-}{\sqrt{2}(E + \frac{E_g}{2})} b \end{pmatrix}, \quad (2)$$

где a, b — функции координат x, y и z . Уравнения для a и b представлены далее

$$\left[\frac{E_g^2}{4} - E^2 + \frac{\hat{R}_- \hat{R}_+}{2} + \frac{\hat{R}_+ \hat{R}_-}{6} + \frac{2}{3} \hat{R}_z^2 \right] a = 0, \\ \left[\frac{E_g^2}{4} - E^2 + \frac{\hat{R}_- \hat{R}_+}{6} + \frac{\hat{R}_+ \hat{R}_-}{2} + \frac{2}{3} \hat{R}_z^2 \right] b = 0. \quad (3)$$

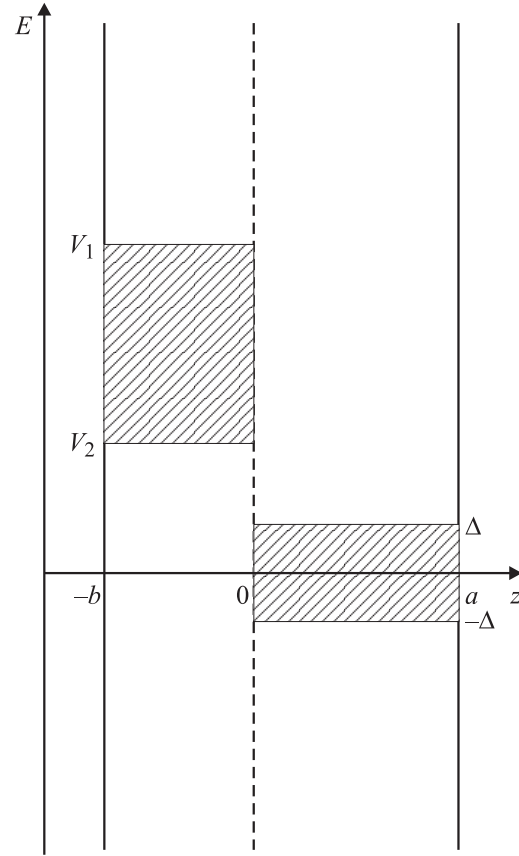


Рис. 1. Энергетическая схема гетероперехода II типа, состоящего из двух квантовых ям с бесконечными стенками. Вертикальной штриховой линией обозначена гетерограница, заштрихованные области соответствуют запрещенным зонам контактирующих полупроводников. Ширина слоя одного полупроводника равна a , другого — b ; соответствующие ширины запрещенных зон — 2Δ и $V_1 - V_2$.

Магнитное поле в рамках модели Кейна вводится заменой оператора импульса $\hat{\mathbf{p}}$ на обобщенный оператор импульса $\hat{\pi} = \hat{\mathbf{p}} - e\mathbf{A}$, где \mathbf{A} — векторный потенциал, e — заряд электрона. Из-за того что векторный потенциал зависит от координат, различные проекции вектора π не коммутируют между собой. Таким образом, и операторы \hat{R}_-, \hat{R}_+ при наличии магнитного поля не коммутируют. В случае нулевого магнитного поля операторы \hat{R}_-, \hat{R}_+ коммутируют друг с другом, и поэтому можно упростить уравнения (3). При этом они сведутся к одному уравнению, имеющему вид

$$\left[\frac{E_g^2}{4} - E^2 + \frac{2}{3} \alpha^2 \hat{p}^2 \right] \alpha = 0. \quad (4)$$

Решениями этого уравнения являются функции вида $a = C \exp(i\mathbf{k}\mathbf{r})$, где $\mathbf{k} = (p_x, p_y, k)$.

Теперь рассмотрим случай однородного магнитного поля \mathbf{B} , направленного вдоль оси z . При этом векторный потенциал можно выбрать в виде $\mathbf{A} = \mathbf{e}_y x B$. Полные

волновые функции находятся по формуле (2)

$$|k, n, \uparrow\rangle = \begin{pmatrix} |k, n\rangle \\ 0 \\ \frac{\alpha\beta\sqrt{n}}{\sqrt{2}(E+\frac{E_g}{2})} |k, n-1\rangle \\ -\frac{2i\tilde{R}_z}{\sqrt{6}(E+\frac{E_g}{2})} |k, n\rangle \\ \frac{\alpha\beta\sqrt{n+1}}{\sqrt{6}(E+\frac{E_g}{2})} |k, n+1\rangle \\ 0 \end{pmatrix};$$

$$|k, n, \downarrow\rangle = \begin{pmatrix} 0 \\ |k, n\rangle \\ 0 \\ \frac{\alpha\beta\sqrt{n}}{\sqrt{6}(E+\frac{E_g}{2})} |k, n-1\rangle \\ -\frac{2i\tilde{R}_z}{\sqrt{6}(E+\frac{E_g}{2})} |k, n\rangle \\ \frac{\alpha\beta\sqrt{n+1}}{\sqrt{2}(E+\frac{E_g}{2})} |k, n+1\rangle \end{pmatrix}, \quad (5)$$

где $|k, n\rangle = \exp(ikz + ip_y y)\Psi_n(x - p_y/(eB))$, Ψ_n — волновая функция n -го состояния одномерного гармонического осциллятора.

Дисперсионные уравнения для этих состояний выглядят следующим образом:

$$\frac{E_g^2}{4} - E^2 + (\alpha\beta)^2 \left(\frac{2}{3}n + \frac{1}{6} \right) + \frac{2}{3}k^2 = 0$$

для $|k, n, \uparrow\rangle$ и

$$\frac{E_g^2}{4} - E^2 + (\alpha\beta)^2 \left(\frac{2}{3}n + \frac{1}{2} \right) + \frac{2}{3}k^2 = 0$$

для $|k, n, \downarrow\rangle$.

Перейдем к рассмотрению квантовой ямы в случае нулевого магнитного поля. В качестве граничного условия возьмем непрерывность полной волновой функции. Чтобы избежать трудностей с бесконечными барьерами на краях ямы, припишем внешним областям определенную ширину запрещенной зоны (ее середину разместим при $E = 0$), которую затем устремим к ∞ . Из-за аксиальной симметрии в плоскости ямы можно положить $p_x = 0$ без ограничения общности задачи. Тогда полная волновая функция в областях, не содержащих гетерограницы, принимает вид

$$\psi_1 = \begin{pmatrix} a \\ 0 \\ \frac{\alpha p_y}{\sqrt{2}(E+\frac{E_g}{2})} a \\ -\frac{2i\alpha p_z}{\sqrt{6}(E+\frac{E_g}{2})} a \\ \frac{\alpha p_y}{\sqrt{6}(E+\frac{E_g}{2})} a \\ 0 \end{pmatrix}, \quad \psi_2 = \begin{pmatrix} 0 \\ b \\ 0 \\ \frac{\alpha p_y}{\sqrt{6}(E+\frac{E_g}{2})} b \\ -\frac{2i\alpha p_z}{\sqrt{6}(E+\frac{E_g}{2})} b \\ \frac{\alpha p_y}{\sqrt{2}(E+\frac{E_g}{2})} b \end{pmatrix}. \quad (6)$$

Заметим, что спиноры (6) взаимортогональны, а следовательно, по ним можно классифицировать состояния системы. Также нужно отметить, что не все из компонент спиноров (6) линейно независимы.

Из-за трансляционной симметрии вдоль ямы волновую функцию в каждой из областей гетероструктуры можно рассматривать как состояние с определенным продольным импульсом частицы. Поэтому в каждой из областей квантовой ямы компоненту a естественно выбрать в виде суперпозиции двух волн — $\exp(i(kz + py))$ и $-\exp(i(-kz + py))$. При этом необходимо учесть, что в области вне ямы остаются лишь экспоненциально затухающие решения — $\exp(-\kappa|z| + ipy)$.

После проведения всех необходимых вычислений находим дисперсионное уравнение для системы

$$\left[\frac{2k}{E + \frac{E_g}{2}} \cos(ka) + \left(\frac{p}{E + \frac{E_g}{2}} + 2\sqrt{\frac{3}{2}} \right) \sin(ka) \right] \times \left[\sin(sb) \left(\frac{4s^2 + p^2}{E - V_2} - 2\sqrt{\frac{3}{2}} p \right) - 4s \sqrt{\frac{3}{2}} \cos(sb) \right] \times \frac{\beta}{E - V_2} + \frac{\alpha}{E + \frac{E_g}{2}} \times \left[\frac{2s}{E - V_2} \cos(sb) - \left(\frac{p}{E - V_2} - 2\sqrt{\frac{3}{2}} \right) \sin(sb) \right] \times \left[\left(\frac{4k^2 + p^2}{E + \frac{E_g}{2}} + 2\sqrt{\frac{3}{2}} p \right) \sin(ka) - 4\sqrt{\frac{3}{2}} k \cos(ka) \right] = 0, \quad (7)$$

где величина k определяется из (4) в области $0 < z < a$, а значение s — в области $-b < z < 0$; α и β — кейновские коэффициенты в областях $z < 0$ и $z > 0$.

Перейдем к случаю ненулевого, поперечного структуры магнитного поля. В данном случае, как и при $B = 0$, в различных областях гетероструктуры в качестве компоненты a волновой функции выбираются суперпозиции плоских волн. Однако, в отличие от случая без магнитного поля, где состояния с различной проекцией спина электрона не смешивались, здесь состояния $|n + 1, \downarrow\rangle$ и $|n, \uparrow\rangle$ имеют одинаковую симметрию и смешиваются. Таким образом, каждое состояние является суперпозицией „плоских волн“

$$\psi = A|k, n + 1, \downarrow\rangle + B| -k, n + 1, \downarrow\rangle + C|s, n, \uparrow\rangle + D| -s, n, \uparrow\rangle.$$

Благодаря различным дисперсионным уравнениям для спиноров волновые векторы k и s различны, хотя между ними есть строгое соответствие. Дальнейший путь расчета заключается в сшивке волновых функций на интерфейсах и устремлении ширин запрещенных зон за пределами ямы к ∞ . При этом в результате получается дисперсионное уравнение

$$\text{Det} \begin{vmatrix} A & B \\ C & D \end{vmatrix} = 0, \quad (8)$$

где A, B, C, D являются матрицами 4-го ранга, выражающимися по формулам

$$A = \begin{vmatrix} \left(2 - \frac{2ik}{E-V_2}\right) e^{-ikb} & \left(2 + \frac{2ik}{E-V_2}\right) e^{ikb} & \frac{\alpha\sqrt{n+1}e^{-isb}}{E-V_2} & \frac{\alpha\sqrt{n+1}e^{isb}}{E-V_2} \\ \frac{\alpha\sqrt{n+1}e^{-ikb}}{E-V_2} & \frac{\alpha\sqrt{n+1}e^{ikb}}{E-V_2} & \left(2 - \frac{2is}{E-V_2}\right) e^{-isb} & \left(2 + \frac{2is}{E-V_2}\right) e^{isb} \\ 0 & 0 & 0 & 0 \\ 0 & 0 & 0 & 0 \end{vmatrix};$$

$$B = \begin{vmatrix} 0 & 0 & 0 & 0 \\ 0 & 0 & 0 & 0 \\ \left(2 + \frac{2i\kappa}{E-\Delta}\right) e^{-ika} & \left(2 + \frac{2i\kappa}{E-\Delta}\right) e^{-ika} & -\frac{\alpha\sqrt{n+1}e^{-i\sigma a}}{E-\Delta} & -\frac{\alpha\sqrt{n+1}e^{i\sigma a}}{E-\Delta} \\ -\frac{\alpha\sqrt{n+1}e^{-ika}}{E-\Delta} & -\frac{\alpha\sqrt{n+1}e^{ika}}{E-\Delta} & \left(2 + \frac{2i\sigma}{E-\Delta}\right) e^{i\sigma a} & \left(2 + \frac{2i\sigma}{E-\Delta}\right) e^{-i\sigma a} \end{vmatrix};$$

$$C = \begin{vmatrix} 1 & 1 & 0 & 0 \\ 0 & 0 & 1 & 1 \\ \frac{2ik}{E-V_2} & -\frac{2ik}{E-V_2} & -\frac{\alpha\sqrt{n+1}}{E-V_2} & -\frac{\alpha\sqrt{n+1}}{E-V_2} \\ \frac{\alpha\sqrt{n+1}}{E-V_2} & \frac{\alpha\sqrt{n+1}}{E-V_2} & -\frac{2is}{E-V_2} & \frac{2is}{E-V_2} \end{vmatrix};$$

$$D = \begin{vmatrix} -1 & -1 & 0 & 0 \\ 0 & 0 & -1 & -1 \\ \frac{2i\kappa}{E-\Delta} & -\frac{2i\kappa}{E-\Delta} & \frac{\alpha\sqrt{n+1}}{E-\Delta} & \frac{\alpha\sqrt{n+1}}{E-\Delta} \\ -\frac{\alpha\sqrt{n+1}}{E-\Delta} & -\frac{\alpha\sqrt{n+1}}{E-\Delta} & \frac{2i\sigma}{E-\Delta} & -\frac{2i\sigma}{E-\Delta} \end{vmatrix}.$$

Решения уравнений (7) и (8) можно найти лишь численно.

В рамках данной модели дисперсия тяжелых дырок отсутствует и соответственно отсутствует квантование их уровней в магнитном поле. Далее будем обсуждать результаты экспериментов, в которых квантование тяжелых дырок может быть существенным. В связи с этим введем квантование тяжелых дырок в слое GaSb формально, приписав им квадратичный закон дисперсии. Также будем считать, что тяжелые дырки одного материала не проникают в глубь другого.

Перейдем к обсуждению результатов численных расчетов для гетероструктуры GaSb/InAs. Для примера рассмотрим слой GaSb толщиной в 100 \AA и слой InAs толщиной 150 \AA , поскольку приблизительно такие размеры областей размерного квантования реализуются экспериментально. На рис. 2 представлены дисперсионные кривые электронов и легких дырок для случая нулевого магнитного поля, рассчитанные согласно (7). Ширина запрещенной зоны GaSb выбиралась равной 0.813 eV , ширина запрещенной зоны InAs — 0.415 eV , ширина энергетического зазора — 0.15 eV [4]. Эффективные массы в InAs взяты равными $m_e = m_{lh} = 0.025m_0$, $m_{hh} = 0.41m_0$; в GaSb — $m_e = m_{lh} = 0.045m_0$, $m_{hh} = 0.4m_0$, где m_0 — масса свободного электрона. Энергия отсчитывалась от середины запрещенной зоны объемного InAs.

Видно, что энергетический спектр гетероперехода вне области перекрытия зоны проводимости InAs и валентной зоны GaSb качественно совпадает со спектром одиночной квантовой ямы с бесконечными стенками. Спиновое расщепление уровней размерного квантования

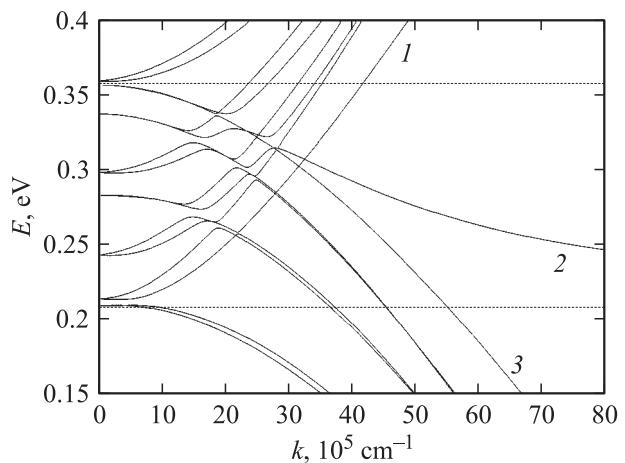


Рис. 2. Энергетическая структура гетероперехода GaSb(100 \AA)/InAs(150 \AA) в области перекрытия зоны проводимости InAs и валентной зоны GaSb в отсутствие магнитного поля с учетом только легких дырок и электронов. Горизонтальными штриховыми линиями отмечены край зоны проводимости InAs и край валентной зоны GaSb.

объясняется неинвариантностью системы при отражении относительно плоскости $xу$. В отличие от энергетического спектра одиночной квантовой ямы в данном спектре нет запрещенной зоны. Это означает, что рассматриваемый гетеропереход ведет себя как полуметалл.

Необходимо также отметить, что в спектре присутствуют так называемые „пограничные“ состояния (на рис. 2 они обозначены цифрами 1, 2, 3). Эти состояния возникают при расчете в модели Кейна. При использовании других граничных условий эти состояния могут отсутствовать. Впервые на наличие таких состояний было указано в работе [5]. Экспериментальное обнаружение пограничных состояний может служить доказательством физической адекватности в выборе граничных условий модели. Законы дисперсии для пограничных состояний сильно отличаются от законов дисперсии для обычных состояний. Видно, что энергия пограничного состояния, обозначенного цифрой 2, при нулевом продольном импульсе совпадает с вершиной валентной зоны GaSb, и, таким образом, это состояние лежит выше уровней размерного квантования для дырок.

Вблизи области энергетического перекрытия зон наблюдается ряд антипересечений дисперсионных кривых. Сравнивая расчеты по (7) с результатами исследования пограничных состояний, можно утверждать, что состояния 2, 3 обусловлены наличием гетерограницы между InAs и GaSb, а 1 — краев ямы.

На рис. 3 приведены зависимости положений уровней Ландау для рассматриваемой структуры от магнитного поля в области энергетического перекрытия зоны проводимости InAs и запрещенной зоны GaSb, рассчитанные по (8).

Особенностью поведения системы в магнитном поле является существование „квазищелей“ в спектре, в которых плотность уровней резко падает по сравнению с соседними областями. Такое уменьшение плотности

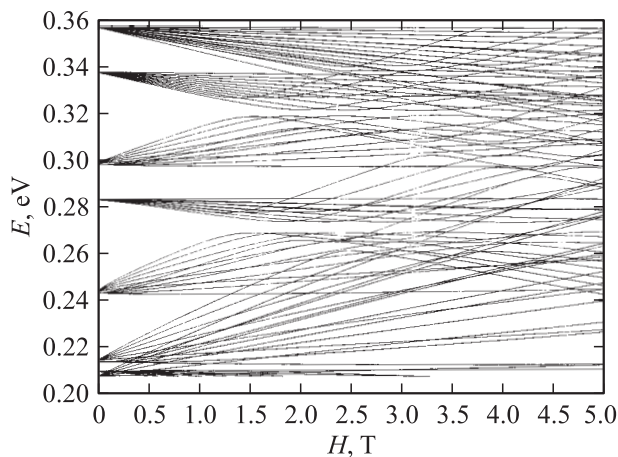


Рис. 3. Энергетический спектр уровней Ландау электронов и легких дырок на гетеропереходе GaSb(100 Å)/InAs(150 Å) в области перекрытия зоны проводимости InAs и валентной зоны GaSb (от 0.207 до 0.357 eV).

состояний обусловлено антипересечениями уровней в ненулевом магнитном поле.

Представленные модельные расчеты хорошо согласуются с результатами численных расчетов, выполненных в рамках других моделей квантоворазмерных структур [6–8].

3. Сравнение с экспериментальными данными

Перейдем к сравнению теоретических расчетов с экспериментальными данными, полученными для гетероструктуры GaInAsSb/InAs, в которой содержание In в четверном твердом растворе определяет величину перекрытия краев валентной зоны и зоны проводимости на границе раздела.

Ранее электронный канал с высокой подвижностью ($\mu > 50\,000\text{--}70\,000\text{ cm}^2/\text{V}\cdot\text{s}$) был обнаружен в одиночных разьединенных гетеропереходах II типа $p\text{-GaInAsSb}/p\text{-InAs}$ с самосогласованными квантовыми ямами на гетерогранице и его люминесцентные и магнетотранспортные свойства были детально исследованы [9–12].

Слои твердых растворов $\text{Ga}_{1-x}\text{In}_x\text{As}_y\text{Sb}_{1-y}$ в интервале составов с содержанием индия $0.08 < x < 0.16$ и $y = x + 0.06$ и с хорошей морфологией роста были получены методом жидкофазной эпитаксии на подложках InAs (100). Раствор-расплав был приготовлен из чистых компонентов: атомарных In и Sb с чистотой 5 и 3N соответственно, а также нелегированных бинарных соединений InAs и GaSb с собственной концентрацией носителей $n = 2 \cdot 10^{16}$ и $p = 5 \cdot 10^{16}\text{ cm}^{-3}$ соответственно. Рассогласование эпитаксиального слоя с подложкой по параметру постоянной кристаллической решетки не превышало величины $\Delta a/a < 4 \cdot 10^{-4}$. Толщина слоя составляла порядка $1.0\ \mu\text{m}$. Выращенные слои GaInAsSb специально не легировались и демонстрировали p -тип проводимости с концентрацией дырок $p = 2 \cdot 10^{16}\text{ cm}^{-3}$ при $T = 77\text{ K}$. Эпитаксиальные слои GaInAsSb были выращены в условиях планарного двумерного роста с планарными интерфейсами, резкими по составу. В таких структурах планарность нижнего интерфейса определялась шероховатостью поверхности InAs (100). Толщина переходного слоя на границе раздела $\text{Ga}_{0.84}\text{In}_{0.16}\text{As}_{0.22}\text{Sb}_{0.78}/\text{InAs}$ составляла $10\text{--}12\ \text{\AA}$.

При 16% In величина перекрытия составляет 70 meV [13]. Путем легирования раствора-расплава донорной примесью можно достичь положения химического потенциала как в интервале перекрытия, так и вне его. Энергетическая структура гетероперехода $n\text{-Ga}_{0.84}\text{In}_{0.16}\text{As}_{0.22}\text{Sb}_{0.78}/p\text{-InAs}$ в нулевом магнитном поле, рассчитанная по формуле (7), приведена на рис. 4, где в соответствии с рис. 1 $V_1 = 277.5\text{ meV}$, $V_2 = 907.5\text{ meV}$, $\Delta = 207.5\text{ meV}$, $a = 125\ \text{\AA}$, $b = 100\ \text{\AA}$. На рис. 4 также приведены положения уровней Ферми (штриховые линии ξ_1 и ξ_2) двух исследуемых в данной работе образцов, определенные из осцилляций

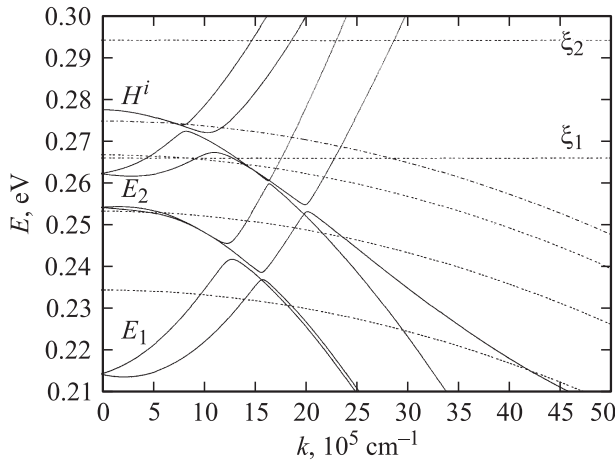


Рис. 4. Энергетический спектр гетероперехода GaInAsSb(105 Å)/InAs(125 Å) в области перекрытия зоны проводимости InAs и валентной зоны GaInAsSb. Состояния интерфейсных дырок обозначены как H^i , состояния тяжелых дырок показаны штриховой линией, электронные подзоны обозначены как E_1 и E_2 .

Шубникова–де Гааза (ШГ). Отметим, что закон дисперсии вне областей антипересечений фактически является параболическим, несмотря на учет только линейных слагаемых по k в гамильтониане. Это обусловлено тем, что рассматриваемые энергии (в области перекрытия) малы по сравнению с ширинами запрещенных зон обоих полупроводников.

На рис. 5 и 6 представлены картины осцилляций ШГ и эффекта Холла (ρ_{xx} и ρ_{xy}) в исследованных структурах с разным уровнем легирования теллуром твердого раствора, демонстрирующие наличие нескольких периодов осцилляций, характерное для мультиподзонной системы размерно квантованных уровней. Картина осцилляций подобна осцилляциям простой квантовой ямы с двумя заполненными подзонами размерного квантования, поскольку на обоих рисунках в полях до 4 Т наблюдаются два периода осцилляций. Переход к осцилляциям ρ_{xy} и ρ_{xx} в условиях квантового эффекта Холла (КЭХ) происходит в полях $B \geq 6$ Т, когда остаются в основном уровни Ландау одной подзоны.

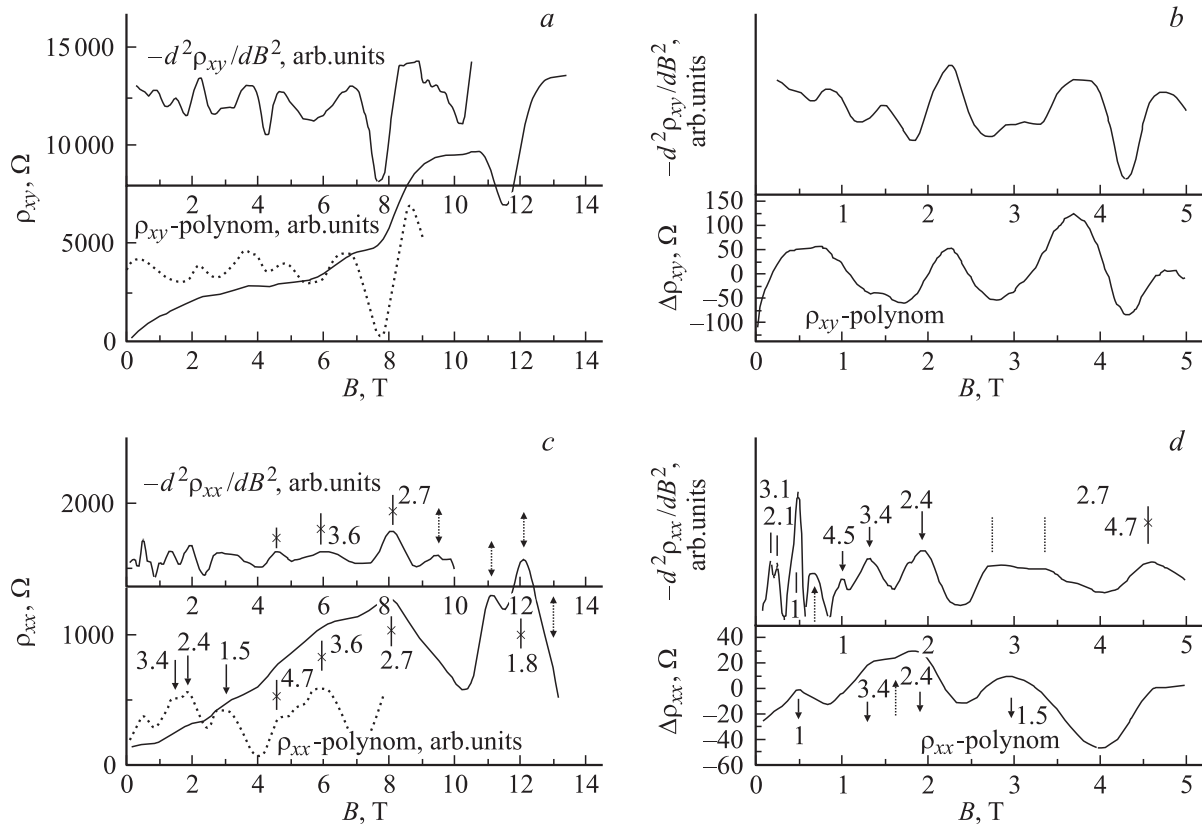


Рис. 5. Экспериментальные зависимости холловского сопротивления ρ_{xy} (a, b) и магнетосопротивления ρ_{xx} (c, d) от магнитного поля для образца МК513/1 при $T = 1.5$ К ($\rho_0 = 136.2$ Ом, $R_{B \rightarrow 0} = 1.85 \cdot 10^7$ см²/Q, $R \cdot \sigma = 1.36 \cdot 10^5$ см²/V·с). b и d — увеличенные части кривых на a и c, полученные из экспериментальных данных для $\rho_{xy}(B)$ и $\rho_{xx}(B)$ вычитанием плавного фона (polynom) и двойным дифференцированием по полю. Вертикальными линиями отмечены разные серии осцилляций ШГ, а также переходная область от одной серии к другой. Цифры у линий соответствуют отношению положений максимумов на шкале $1/B$ к среднему периоду $\Delta(1/B)$ данной серии. Серия осцилляций в слабых полях $B < 1$ Т с индексами 1–3.1 соответствует объемным осцилляциям ШГ от эпитаксиального слоя твердого раствора, легированного Те ($\cong 1 \cdot 10^{16}$).

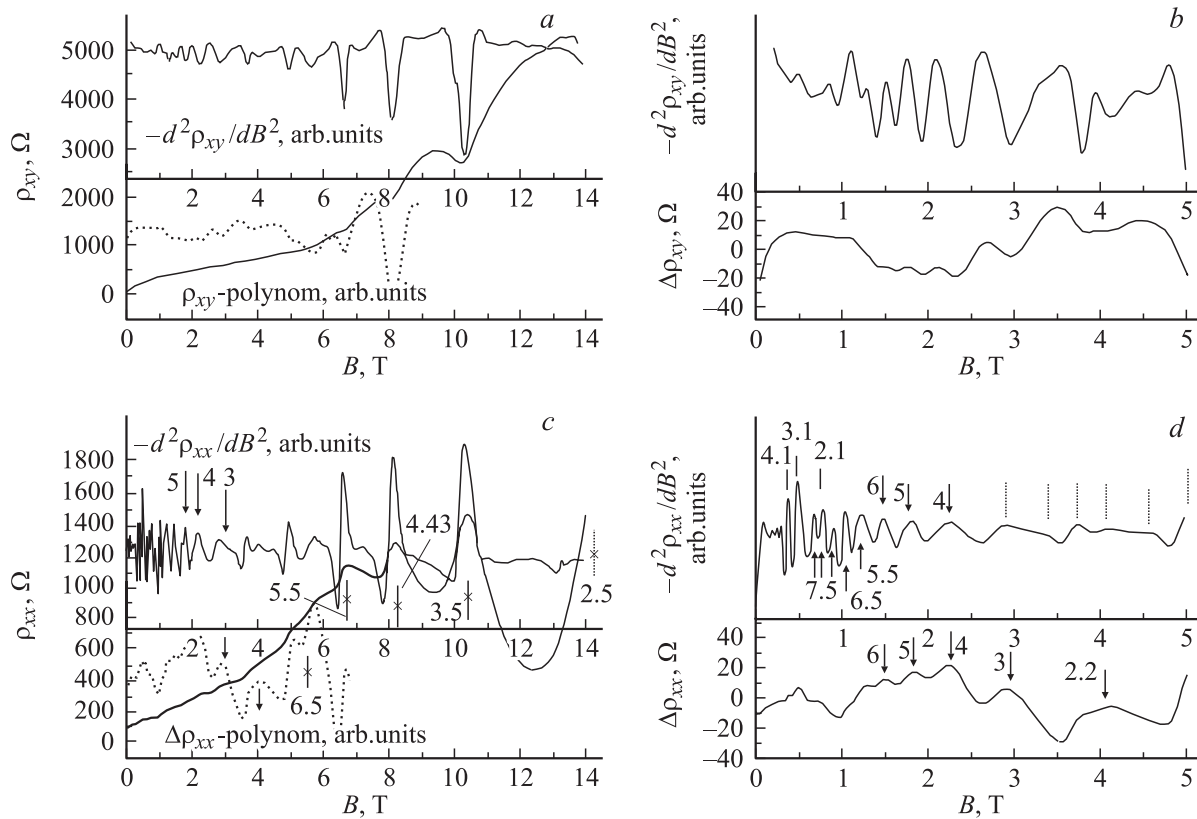


Рис. 6. Экспериментальные зависимости холловского сопротивления ρ_{xy} (a, b) и магнетосопротивления ρ_{xx} (c, d) от магнитного поля для образца МК527/4 при $T = 1.5$ К ($\rho_0 = 91.4$ Ohm, $R_{B \rightarrow 0} = 5.4 \cdot 10^6$ cm²/Q, $R \cdot \sigma = 5.9 \cdot 10^4$ cm²/V · s). Справа (b, d) приведены увеличенные части кривых из (a) и (c), полученные из экспериментальных кривых вычитанием плавного фона и двойным дифференцированием по полю. Вертикальными линиями с разными индексами и без них отмечены разные серии осцилляций ШГ, а также переходная область от одной серии к другой. Цифры соответствуют отношению положений максимумов на шкале $1/B$ к среднему периоду данной серии. Серия в слабых полях $B \leq 1$ Т с индексами 2.1–4.1 соответствует объемным осцилляциям ШГ от эпитаксиального слоя твердого раствора, легированного Те ($\sim 3 \cdot 10^{16}$ cm⁻³).

Для образца МК513/1 с концентрацией теллура в твердом растворе $N_{Te} \cong 1 \cdot 10^{16}$ cm⁻³ из минимального периода осцилляций $\Delta_1 = 4.6 \cdot 10^{-2}$ T⁻¹ (при температуре $T = 1.5$ К) можно рассчитать концентрацию электронов для подзон размерного квантования, ответственных за осцилляции. Оценки дают значение $n_{Ro} \cong 5.2 \cdot 10^{11}$ cm⁻² (с одной проекцией спина). Аналогично для образца МК527/4 с концентрацией теллура $N_{Te} \cong 1 \cdot 10^{17}$ cm⁻³ из минимального периода осцилляций $\Delta_1 = 2.75 \cdot 10^{-2}$ T⁻¹ можно оценить концентрацию электронов: $n_{Ro} \cong 8.8 \cdot 10^{11}$ cm⁻² (то же с одной проекций спина). Оба этих значения хорошо согласуются с результатами измерений коэффициента Холла в слабых магнитных полях ($B \rightarrow 0$), из которых получаются оценки в $n_{Ro} \cong 3.4 \cdot 10^{11}$ cm⁻² для образца МК513/1 и $n_{Ro} \cong 1.15 \cdot 10^{12}$ cm⁻² — для МК527/4.

Зная электронные концентрации, можно рассчитать положение уровня Ферми, считая, что электронные подзоны размерного квантования имеют близкий к параболическому закон дисперсии. Приняв эффективную электронную массу на уровне Ферми в InAs равной $m_e^* = 0.03m_0$, получим значение энергии Ферми для

образца МК513/1, равное $\xi \cong 54$ meV. Аналогично для образца МК527/4 оценка энергии Ферми дает значение $\xi \cong 91.4$ meV. Такие значения энергий Ферми при перекрытии зоны проводимости и валентной зоны в $\Delta E = 70$ meV приводят к тому, что уровень Ферми в образце МК513/1 лежит в области перекрытия, а в образце МК527/4 — выше этой области.

В режиме квантового эффекта Холла максимумы ρ_{xx} отвечают пересечениям уровня Ферми с уровнями Ландау. Мы сопоставили для обоих образцов максимумы ρ_{xx} с пересечениями уровня химического потенциала с рассчитанными уровнями Ландау, считая, что положение химического потенциала не зависит от приложенного к структуре магнитного поля. Наилучшее согласие модели составной квантовой ямы с экспериментом было получено при ширине электронного канала $a = 125$ Å и дырочного $b = 105$ Å. Для перекрытия зон на интерфейсе принято значение $\Delta E = 70$ meV, зонные параметры для Ga_{0.84}In_{0.16}Sb_{0.78}As_{0.22} и InAs равны: $E_g = 0.63$ и 0.41 eV соответственно; эффективные массы электронов и дырок $m_e = 0.023 \cdot m_0$, $m_{lh} = 0.026 \cdot m_0$, $m_{hh} = 0.41 \cdot m_0$ [4]; g-фактор электронов $|g| = 10$.

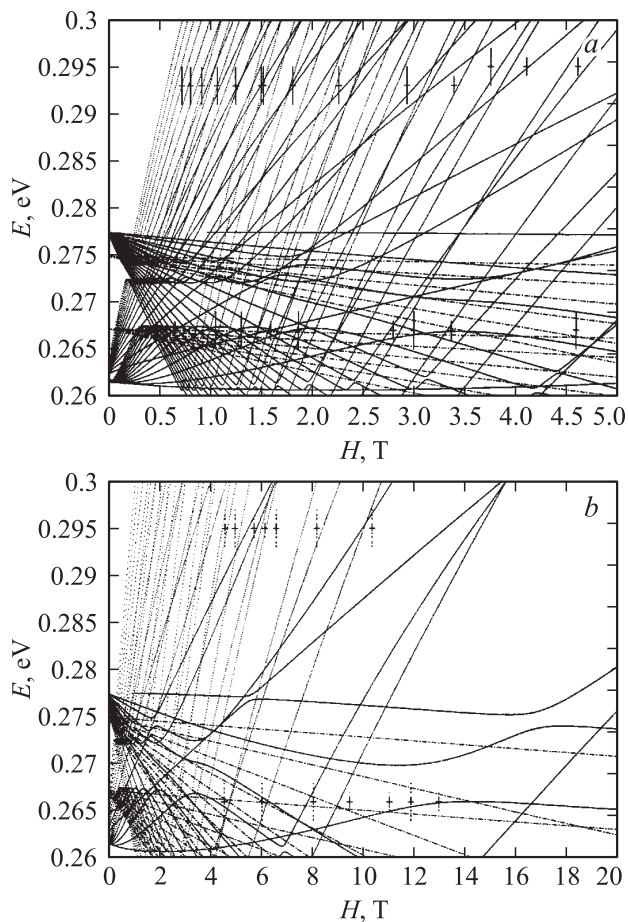


Рис. 7. Графики зависимостей уровней Ландау от магнитного поля для двух заполненных электронных подзон E_1 и E_2 , подзоны пограничных дырочных состояний H^i и двух подзон тяжелых дырок H_1^h и H_2^h в интервале полей от 5 Т (а) и до 20 Т (б) в области перекрытия зон вблизи края валентной зоны твердого раствора. Вертикальными линиями разной длины обозначены положения максимумов ρ_{xx} из рис. 1, с, d и 2, с, d разных серий, которые сопоставлены с пересечениями уровня химического потенциала E_ξ уровней Ландау подзон E_1 и E_2 . Для образца МК513/1 уровень химического потенциала $E_\xi = 267\text{--}266$ meV, для образца МК527/4 — $E_\xi = 293\text{--}295$ meV. Короткими штрихами для образца МК513/1 отмечены положения максимумов ρ_{xx} из рис. 5, с при $B > 8$ Т, связанные с взаимными пересечениями уровней Ландау электронов и тяжелых дырок вблизи $E_\xi = 265$ meV.

Вертикальные линии на рис. 7 соответствуют экспериментальным максимумам ρ_{xx} , которые возникают при пересечении делокализованных состояний гибридных уровней Ландау разных подзон с уровнем Ферми для каждой из подзон. Наилучшее согласие между положениями максимумов ρ_{xx} и пересечений уровня химического потенциала с уровнями Ландау достигается в том случае, если считать, что в образце МК513/1 уровень химического потенциала расположен в интервале 0.266–0.268 eV, а для образца МК527/4 — в

интервале 0.293–0.295 eV. Это соответствует энергетическим расстояниям от краев соответствующих подзон, обозначенных на рис. 4 буквами E_1 и E_2 , $\varepsilon_{F1} = 52.4$ meV и $\varepsilon_{F2} = 4.9$ meV для образца МК513/1 и $\varepsilon_{F1} = 80.4$ meV, $\varepsilon_{F2} = 30.9$ meV для образца МК527/4.

В образце МК513/1 согласно рис. 4 частично заполнены две дырочные подзоны: интерфейсные дырочные состояния и первая подзона размерного квантования тяжелых дырок (энергетическое расстояние от краев этих подзон до уровня химического потенциала составляет $\varepsilon_F^i = 10.6$ meV и $\varepsilon_{1F}^h = 8.9$ meV соответственно). При этом в полях до 5 Т (рис. 7, а) пересечения уровней Ландау тяжелых и интерфейсных дырок с уровнем химического потенциала не проявляется на эксперименте, поскольку для этих носителей $\Omega_{Th} \ll 1$. Таким образом, экспериментально обнаруживаются только максимумы ρ_{xx} , соответствующие пересечению уровня химического потенциала с уровнями Ландау электронных подзон с положительной и отрицательной проекциями „псевдоспина“.

В полях до 1 Т в обоих образцах наблюдаются объемные осцилляции ШГ, не зависящие от угла между магнитным полем \mathbf{B} и током \mathbf{J} и связанные с легированием Те слоя твердого раствора (рис. 5, d и 6, d). В образце МК527/4 это осцилляции с индексами 2.1, 3.2, 4.1 (рис. 6, d), которые соответствуют концентрации электронов $n_{3D} \cong 1.2 \cdot 10^{16}$ cm $^{-3}$, определенные из периода $\Delta(1/B)$. При этом максимум 2.1 перекрывается с осцилляциями двумерной электронной подзоны с положительной проекцией „псевдоспина“.

Таким образом, для обоих образцов осцилляции магнетосопротивления (ρ_{xx}) обусловлены всеми электронными подзонами, попавшими в область перекрытия Δ . Как видно из расчетов, в полях $B \geq 6$ Т уровень Ферми для образца МК527/4 пересекается только уровнями Ландау, имеющими электронный характер (рис. 7, а), а для образца МК513/1 также и уровнями Ландау, имеющими дырочный характер. Именно наличие вклада в магнетосопротивление дырочных подзон размерного квантования принципиально отличает образец МК513/1 от образца МК527/4. В связи с этим минимумы ρ_{xx} в образце МК527/4 лежат ниже минимумов ρ_{xx} в образце МК513/1 с тем же индексом заполнения, поскольку ρ_{xx} в образце МК513/1 ограничивается снизу проводимостью по дырочным состояниям.

В холловском сопротивлении ρ_{xy} для образца МК513/1 положения плато КЭХ на шкале магнитного поля определяются электронными уровнями Ландау, тогда как монотонная часть ρ_{xy} существенно зависит от степени заполнения делокализованных дырочных состояний и резко уменьшается (в 3 раза) при повышении температуры от 1.5 до 4 К.

В магнетосопротивлении в сильных полях максимумы ρ_{xx} наблюдаются при пересечении уровня Ферми с уровнями Ландау для глубокой электронной подзоны с обеими проекциями „псевдоспина“, как это видно на рис. 7, б. При этом антипересечения нулевого уровня

Ландау, происходящего из подзоны размерного квантования E_2 (рис. 4), с первым уровнем Ландау интерфейсных дырок H_i приводят к пиннингу уровня химического потенциала при $B > 10$ Т на нулевом уровне Ландау подзоны E_2 . Дополнительные максимумы ρ_{xx} в этой области полей на рис. 5, с, отмеченные пунктиром, можно объяснить пересечением уровня химического потенциала уровнями Ландау тяжелых дырок одновременно с электронным уровнем.

Плато КЭХ на зависимости ρ_{xy} от B соответствуют расположению уровня Ферми между уровнями Ландау при заполнении одной размерноквантованной подзоны. При наличии двух подзон для электронов или для электронов и дырок, вносящих разный вклад в фоновую составляющую $\rho_{xy}(B)$, выход уровней Ландау той или иной подзоны (или двух вместе) из-под уровня Ферми будет приводить к изменению концентрации в подзоне и, следовательно, к искажению плато КЭХ в ρ_{xy} (зависимости ρ_{xy} на рис. 5, а и 6, а в области КЭХ, когда при выходе электронных уровней Ландау наблюдаются минимумы ρ_{xy}). Этот эффект проявляется наиболее заметно в образце МК513/1 (даже при $T = 4.2$ К) при одновременном выходе уровней Ландау электронов и дырок из-под уровня химического потенциала. Действительно, если при подходе электронного и дырочного уровней Ландау уровень химического потенциала расположен вблизи такого пересечения, то плотность делокализованных состояний на уровне Ферми увеличивается, приводя к увеличению холловской проводимости σ_{xy} (минимум в ρ_{xy}). В магнетосопротивлении ρ_{xx} такой характер пересечений химического потенциала с уровнями Ландау тяжелых дырок проявляется в виде дополнительных максимумов ρ_{xx} в области 10–14 Т, отмеченных пунктирными стрелками на рис. 5, с. В более сильных полях ($B \geq 30$ Т) между наименьшими электронными и дырочными уровнями Ландау образуется энергетическая щель и происходит переход к собственной проводимости полупроводника (при отсутствии примесных состояний), у которого число носителей, занимающих делокализованные состояния на расходящихся уровнях Ландау электронов и дырок, будет экспоненциально уменьшаться с ростом магнитного поля при данной температуре.

4. Заключение

Таким образом, впервые экспериментально установлены особенности спектра носителей в области перекрытия зоны проводимости и валентной зоны в разьединенном гетеропереходе II типа GaInAsSb/InAs на основе твердых растворов, обогащенных GaSb. Обнаружено появление энергетических щелей в результате антипересечений ветвей энергетического спектра с разными проекциями „псевдоспина“ как в нулевом, так и в ненулевых магнитных полях. Предложена простая аналитическая модель гетероперехода II типа, хорошо описывающая экспериментальные данные по кванто-

вому магнетотранспорту в одиночной гетероструктуре GaInAsSb/ p -InAs.

Экспериментально продемонстрировано принципиальное различие в квантовых осцилляциях магнетосопротивления и квантовом эффекте Холла при расположении уровня химического потенциала вне и внутри энергетического перекрытия зон на гетерогранице. Показано, что эти отличия обусловлены гибридизацией состояний валентной зоны одного полупроводника и зоны проводимости другого в области перекрытия.

Список литературы

- [1] M. Altarelli. Phys. Rev. B **28**, 2, 842 (1983).
- [2] G.A. Sai-Halasz, L. Esaki, W.A. Harrison. Phys. Rev. B **18**, 6, 2812 (1978).
- [3] M. Altarelli, J.C. Maan, L.L. Chang, L. Esaki. Phys. Rev. B **35**, 18, 9867 (1987).
- [4] M.N. Landolt, R. Bornstein. Numerical Data and Functional Relationships in Science and Technology. Physics of Group IV Elements and III-V Compounds. Springer, N. Y. (1982). Vol. 17a.
- [5] P.A. Суриц. ФТП **20**, 11, 2008 (1986).
- [6] S. de-Leon, L.D. Shvartsman, B. Laikhtman. Phys. Rev. B **60**, 1861 (1999).
- [7] E. Halvorsen, Y. Galperin, K.A. Chao. Phys. Rev. B **61**, 16 743 (2000).
- [8] A. Zakharova, S.T. Yen, K.A. Chao. Phys. Rev. B **64**, 235 332 (2001).
- [9] M.P. Mikhailova, K.D. Moiseev, V.A. Berezovets, R.V. Parfeniev, N.L. Bazhenov, V.A. Smirnov, Yu.P. Yakovlev. IEE Proc.-Optoelectron. **145**, 5, 268 (1998).
- [10] К.Д. Моисеев, М.П. Михайлова, Ю.П. Яковлев, И. Освальд, Э. Гулициус, И. Панграц, Т. Шимечек. ФТП **37**, 1214 (2003).
- [11] K.D. Moiseev, V.A. Berezovets, M.P. Mikhailova, V.I. Nizhankovskii, R.V. Parfeniev, Yu.P. Yakovlev. Sur. Sci. **482**, 2, 1083 (2001).
- [12] V.A. Berezovets, M.P. Mikhailova, K.D. Moiseev, R.V. Parfeniev, Yu.P. Yakovlev, V.I. Nizhankovskii. Phys. Stat. Sol. (a) **195**, 1, 194 (2003).
- [13] Т.И. Воронина, Т.С. Лагунова, М.П. Михайлова, К.Д. Моисеев, А.Е. Розов, Ю.П. Яковлев. ФТП **34**, 2, 194 (2000).